



RekaRacana: Jurnal Teknik Sipil



9 772477 256006

Jurusan Teknik Sipil
Institut Teknologi Nasional
Bandung



RekaRacana: Jurnal Teknik Sipil

Struktur | Transportasi | Geoteknik | Teknik Sumber Daya Air | Manajemen Rekayasa Konstruksi

BERANDA TENTANG KAMI LOGIN DAFTAR CARI TERKINI ARSIP INFORMASI

Beranda > RekaRacana: Jurnal Teknik Sipil

RekaRacana: Jurnal Teknik Sipil

RekaRacana: Jurnal Teknik Sipil dengan ISSN 2477-2569 diterbitkan 4 (empat) kali dalam satu tahun pada bulan Maret, Juni, September, dan Desember. Jurnal ini berisi tulisan yang diangkat dari hasil penelitian dan kajian analisis di bidang ilmu pengetahuan dan teknologi, khususnya pada Teknik Sipil, yaitu Transportasi, Struktur, Geoteknik, Manajemen Konstruksi dan Teknik Sumber Daya Air. Tulisan yang masuk ke redaksi diseleksi dengan sistem peer-review untuk menjaga obyektivitas sekaligus membuka kesempatan bagi setiap orang terlepas dari latar belakang pendidikan untuk dapat berkontribusi. Alamat Digital Object Identifier (DOI) RekaRacana: Jurnal Teknik Sipil yang diterbitkan dari Crossref adalah <http://dx.doi.org/10.26760/rekaracana>, dan telah menggunakan software IThenticate sebagai Plagiarism Tool.



PENGUNA

Nama
Pengguna
Kata Sandi
 Ingat Saya



PENYERAHAN ONLINE

- TIM EDITORIAL
- MITRA BESTARI
- FOKUS DAN RUANG LINGKUP
- PANDUAN PENULIS
- PROSES PUBLIKASI
- PROSES REVIEW
- LEMBAR REVIEW
- ETIKA PUBLIKASI
- PERNYATAAN AKSES TERBUKA
- BIAYA PUBLIKASI
- KEBIJAKAN PLAGIASI
- KEBIJAKAN ARSIP
- HAK CIPTA DAN LISSENSI

NOTIFIKASI

- > Lihat
- > Langganan

SUSUNAN PENGELOLA

Penerbit

Program Studi Teknik Sipil - Institut Teknologi Nasional (ITENAS) Bandung

Ketua Penyunting

Nur Laeli Hajati, S.T., M.T. (Institut Teknologi Nasional Bandung)

Editor:

1. Desinta Nur Lailasari S.T., M.T. [ITENAS]
2. Andrean Maulana, S.T., M.T. [ITENAS]
3. Dr. Yuki Achmad Yakin, ST., MT. [ITENAS]
4. Fransiska Yustiana, S.T., M.T. [ITENAS]
5. Dr. Eng. Mia Wimala, S.T., M.T. [ITENAS]
6. Dr. Nursetiawan, S.T., M.T. [UMY]

Mitra Bestari dapat dilihat disini

Administrator : Suwarno



RekaRacana: Jurnal Teknik Sipil

Struktur | Transportasi | Geoteknik | Teknik Sumber Daya Air | Manajemen Rekayasa Konstruksi

BERANDA TENTANG KAMI LOGIN DAFTAR CARI TERKINI ARSIP INFORMASI

Beranda > Arsip > Vol 3, No 4

Vol 3, No 4

Desember 2017

Daftar Isi

Artikel

Kajian Ekonomis Perancangan Sistem Sambungan Struktur Baja pada Rangka Atap dengan Variasi Ukuran Baut, Konfigurasi Baut, dan Mutu Baut <i>Andre Pranata Setiakosono, Bernardinus Heribudiman</i>	PDF 1
Analisis Tingkat Kepuasan terhadap Kualitas Pelayanan Kereta Api Ekonomi Bandung Raya <i>Galih Wijaksana Affandi, Dwi Prasetyanto, Andrean Maulana</i>	PDF 12
Studi Pengaruh Temperatur terhadap Modulus Kekakuan Campuran Menggunakan Aspal Berpolimer Bitu Bale <i>Rickson Rachdiawan Faroz, Herman Herman</i>	PDF 24
Analisis Teknis Operasional Light Rail Transit Kota Bandung <i>Ajif Nur Muhammad, Sofyan Triana</i>	PDF 36
Studi Kinerja Simpang Jalan Jakarta - Ibrahim Adjie Setelah Adanya Overpass Pelangi Antapani Kota Bandung <i>Dhi'fan Hanifan, Silvia Sukirman</i>	PDF 46
Pengaruh Faktor Gempa terhadap Stabilitas Timbunan dengan Analisis Numerik <i>Muhamad Fadhlani Alfafa, Indra Noer Hamdhan</i>	PDF 58
Analisis Geoteknik pada Teknologi Corrugated Mortar Busa Pusjatan (CMP) dalam Perencanaan Flyover Antapani <i>Sonny Riantama Bahori, Indra Noer Hamdhan</i>	PDF 70
Analisis Keruntuhan Dinding Penahan Tanah Studi Kasus Condotel di Parongpong Bandung <i>Rinto Zordin, Yuki Achmad Yakin</i>	PDF 82
Analisis Daya Dukung Fondasi Kelompok Tiang pada Tanah Lempung Cimencrang <i>Yumita Melisari, Yuki Achmad Yakin</i>	PDF 92
Analisis Daya Dukung Kelompok Tiang Bor pada Jembatan Moh Toha (di Proyek Penambahan Lajur Tol Kopo – Buah Batu) <i>Luthfi Nurachim, Yuki Achmad Yakin</i>	PDF 104
Perencanaan Teknis Pangkalan Pendaratan Ikan Baruakol Kepulauan Sula Maluku Utara <i>Dwinanda Norindra, Yati Muliati, Fachrul Madrapriya</i>	PDF 115
Analisis Keandalan Tampungan Waduk Molintogupo untuk Kebutuhan Air Baku di Kabupaten Bone Bolango Provinsi Gorontalo <i>Heri Susanto, Yedida Yosananta</i>	PDF 127
Implementasi Konsep Green Campus di Kampus Itenas Bandung Berdasarkan Kategori Tata Letak dan Infrastruktur <i>Nur Diyanti Santoso, Emma Akmalah, Ira Irawoti</i>	PDF 139

ISSN (elektronik) : 2477-2569

diterbitkan oleh :

Teknik Sipil Institut Teknologi Nasional Bandung

Alamat : jl. PHH, Mustofa 23 Bandung 40124

Kontak : Tel. 7272215 (ext. 206) Fax. 7202892

Terindeks:

PENGUNA

Nama Pengguna
Kata Sandi
 Ingat Saya
Login



PENYERAHAN ONLINE

- TIM EDITORIAL
- MITRA BESTARI
- FOKUS DAN RUANG LINGKUP
- PANDUAN PENULIS
- PROSES PUBLIKASI
- PROSES REVIEW
- LEMBAR REVIEW
- ETIKA PUBLIKASI
- PERNYATAAN AKSES TERBUKA
- BIAYA PUBLIKASI
- KEBIJAKAN ARSIP
- KEBIJAKAN PLAGIASI
- HAK CIPTA DAN LISENSI

NOTIFIKASI

- > Lihat
- > Langganan



Pengaruh Faktor Gempa terhadap Stabilitas Timbunan dengan Analisis Numerik

MUHAMAD FADHLAN ALFAFA, INDRA NOER HAMDHAN

Jurusan Teknik Sipil, Institut Teknologi Nasional
Email: muhamadfadhlanalafa@yahoo.com

ABSTRAK

Gempa bumi umumnya menggambarkan proses dinamis yang melibatkan akumulasi stress (tekanan) dan pelepasan strain (regangan). Perambatan gelombang ini bergantung pada sifat elastisitas batuan. Selama terjadinya gempa akan terjadi penjalaran gelombang dari batuan dasar ke permukaan tanah. Perjalanan perambatan gelombang sangat dipengaruhi oleh sifat-sifat dinamik tanah yang dilewati oleh gelombang gempa tersebut. Program NERA adalah salah satu program yang menggunakan analisis respon satu dimensi yang berarti Gelombang geser merambat secara vertikal dalam sistem berlapis satu dimensi. Analisis stabilitas timbunan yang dihitung menggunakan metode elemen hingga dengan model 2D pada program PLAXIS 2D 2016. Analisis akan menggunakan variasi dengan dan tanpa terjadi gempa dan dengan dan tanpa muka air tanah yang tepat berada dipermukaan. Analisis stabilitas gempa tanpa muka air nilai SF yang diperoleh cenderung aman dengan rata-rata nilai SF 1,389 dan analisis stabilitas gempa dengan muka air nilai SF yang diperoleh cenderung cukup aman dengan rata-rata nilai SF 1,279.

Kata kunci: gelombang geser, NERA, percepatan gempa, stabilitas timbunan

ABSTRACT

Earthquakes generally describe a dynamic process that involves the accumulation of stress (pressure) and the release of strains (strain). This wave propagation depends on the elasticity of the rock. During the earthquake there will be a wave propagation from the bedrock to the ground surface. The journey of wave propagation is strongly influenced by the dynamic properties of the soil passed by the earthquake wave. The NERA program is one program that uses one-dimensional response analysis which means shear waves propagate vertically in a one-dimensional layered system. Analysis of the embankment stability calculated using finite element method with 2D model in PLAXIS 2D 2016 program. The analysis will use variations with and without earthquake and with and without proper groundwater on the surface. Analysis of seismic stability without a water surface of SF values obtained tended to be safe with an average value of SF is 1.389 and an earthquake stability analysis with SF water level obtained is likely to be quite secure with an average value of SF is 1,279.

Keywords: shear waves, NERA, earthquake acceleration, embankment stability

1. PENDAHULUAN

Gempa bumi adalah getaran atau guncangan yang terjadi di permukaan bumi akibat pelepasan energi dari dalam secara tiba-tiba yang menciptakan gelombang seismik. gempa bumi biasa disebabkan oleh pergerakan kerak bumi (lempeng bumi). Frekuensi suatu wilayah, mengacu pada jenis dan ukuran gempa bumi yang dialami selama periode waktu.

Pergeseran lempeng-lempeng tektonik secara mendadak yang mempunyai kekuatan dari yang sangat kecil hingga yang sangat besar. Gempa bumi ini banyak menimbulkan kerusakan atau bencana alam, getaran gempa bumi yang kuat mampu menjalar keseluruh bagian bumi. Perambatan gempa yang berasal dari pusat gempa akan merambat secara melingkar dan energy yang dihasilkan akan berkurang seiring dengan jauhnya titik pusat gempa terjadi.

Pada penelitian ini akan dilakukan analisis stabilitas timbunan dengan dan besaran percepatan gempa yang terjadi dari batuan dasar hingga dipermukaan tanah.

Maksud dan tujuan dari penelitian ini adalah mengetahui seberapa besar pengaruh jenis tanah dalam perambatan gempa dari batuan dasar ke permukaan tanah dengan bantuan program NERA dan bagaimana akibat pengaruh dari gempa tersebut terhadap stabilitas tanah timbunan dengan bantuan program PLAXIS 2D 2016. Hasil analisis akan mengeluarkan safety factor yang dihasilkan dari perhitungan percepatan gempa dipermukaan.

2. TINJAUAN PUSTAKA

2.1 Penentuan Modulus Geser Tanah Melalui Penyidikan Lapangan Berdasarkan Nilai N-SPT

Nilai SPT berasal dari jumlah pukulan yang dibutuhkan untuk memasukan split spoon sedalam 30 cm terkahir. Pengujian ini dilakukan pada umumnya bersamaan dengan pengeboran tanah untuk pengambilan coring dan sampel tanah yang tidak terganggu. Nilai tersebut dapat dipakai untuk menentukan modulus geser tanah menggunakan kolerasi N-SPT terhadap modulus geser tanah maupun cepat rambat gelombang geser **Tabel 1**.

Referensi	Korelasi G_{1500N} (kPa)	Kolerasi V_s (m/s)	Jumlah Data	NILAI SPT	Sampel Tanah
Ohsaki & Iwasaki (1973)			220	0,888	Lempung & Pasir (Jepang)
Imai (1977)		$91 N^{0,337}$	943		Lempung & Pasir (Jepang)
Ohta & Goto (1978)		$85,3 N^{0,341}$	289	0,72	Lempung & Pasir (Jepang)
Imai & Tonouchi (1982)	$14070 N^{0,68}$	$96,9 N^{0,314}$	1654	0,867 0,868	Lempung & Pasir (Jepang)
Seed dkk. (1983)	6220 N				Pasir (Amerika)
Sykora & Stoke (1983)		$101 N^{0,29}$	229	0,84	Pasir (Amerika)

(Sumber: Irsyam, 2008)

2.2 Program NERA

Salah satu program komputer pertama yang mensimulasikan respon tanah adalah SHAKE, SHAKE mengasumsikan bahwa perilaku tanah siklik dapat disimulasikan dengan menggunakan model linier ekuivalen. Tahun 1998 program komputer EERA dikembangkan mulai dari konsep

dasar yang sama dengan SHAKE. EERA menerapkan konsep yang terkenal tentang analisis respons gempa linier yang sesuai dengan keuntungan FORTAN 90 dan program *spreadsheet* Excel. Tahun 2001 penerapan prinsipal yang digunakan untuk EERA diterapkan pada NERA, sebuah program analisis respon nonlinier berdasarkan model material. NERA adalah singkatan dari *Nonlinear Earthquake site Response Analysis* dan mendapatkan keuntungan penuh dari FORTAN 90 dan program *spreadsheet* Excel. NERA merupakan program *external* dari Excel dan pengembangan program-program lainnya mengenai perhitungan pendekatan mengenai proses perambatan gempa dari batuan dasar ke permukaan dengan kata lain NERA adalah implementasi modern dari analisis respon gempa nonlinier. **Gambar 1** menunjukkan algoritma pada program NERA dan **Gambar 2** menjelaskan *worksheet* pada NERA.

```

Given : Material constants:  

 $\rho_s$ : unit mass of soil layer  $i$   

 $\rho_w$ : density of bedrock  

 $v_s$ : shear wave velocity of bedrock  

(1) Initialization  

 $n = 1, \tilde{V}_{i,n} = 0, a_{i,n} = 0, d_{i,n} = 0, \tau_{i,0} = 0, \gamma_{i,0} = 0, i = 1, \dots, N$  and  $V_{i,0} = 0, a_{i,0} = 0$   

(2) Calculate strain, strain increment and stress ( $i = 1, \dots, N-1$ )  

 $\gamma_{i,n} = \frac{d_{i+1,n} - d_{i,n}}{\Delta z_i}, \Delta\gamma_{i,n} = \gamma_{i,n} - \gamma_{i,n-1}$  and  $\tau_{i,n} = IM(\tau_{i,n-1}, \Delta\gamma_{i,n})$   

(3) Calculate input velocity from prescribed acceleration  $a_{i,n}$   

 $V_{i,n} = V_{i,n-1} + \frac{1}{2}(a_{i,n} + a_{i,n-1})\Delta t$   

(4) Calculate predicted velocity  

 $\tilde{V}_{N,n+1} = \frac{\tilde{V}_{N,n}(\Delta z_{N-1} - v_s \Delta t) + 4v_s V_{i,n} \Delta t - 2\tau_{N-1,n} \Delta t / \rho_N}{\Delta z_{N-1} + v_s \Delta t}$  at node  $N$  (bottom)  

 $\tilde{V}_{i,n+1} = \tilde{V}_{i,n} + 2 \frac{\tau_{i,n} - \tau_{i-1,n}}{\Delta z_i + \Delta z_{i-1}} \frac{\Delta t}{\rho_i}$  at node  $i = 2, \dots, N-1$   

 $\tilde{V}_{1,n+1} = \tilde{V}_{1,n} + 2 \frac{\tau_{1,n}}{\Delta z_1} \frac{\Delta t}{\rho_1}$  at node 1 (surface)  

(5) Calculate displacement, velocity and acceleration ( $i = 1, \dots, N$ )  

 $d_{i,n+1} = d_{i,n} + \tilde{V}_{i,n+1} \Delta t$   

 $v_{i,n} = \frac{1}{2}(\tilde{V}_{i,n+1} + \tilde{V}_{i,n})$   

 $a_{i,n} = \frac{1}{\Delta t}(\tilde{V}_{i,n+1} - \tilde{V}_{i,n})$   

(6)  $n \leftarrow n + 1$  go to (2)

```

Gambar 1. Algoritma pada NERA
(Sumber: Bardet, J. P., 2001)

Worksheet	Contents	Duplication	Number of input
Earthquake	Earthquake input time history	No	7
Mat I	Material curves (G/G_{max} and Damping versus strain for material type i)	Yes	Dependent on number of soil layers
Profile	Vertical profile of layers	No	Dependent on number of data points per material curve
Iteration	Results of main calculation	No	2
Acceleration	Time history of acceleration/velocity/displacement	Yes	1
Strain	Time history of stress and strain	Yes	1
Ampli	Amplification between two sub-layers	Yes	3
Fourier	Fourier amplitude spectrum of acceleration	Yes	2
Spectra	Response spectra	Yes	2

Gambar 2. Worksheet pada NERA
(Sumber: Bardet, J. P., 2001)

3. PENGOLAHAN DATA

3.1 Pengolahan Data

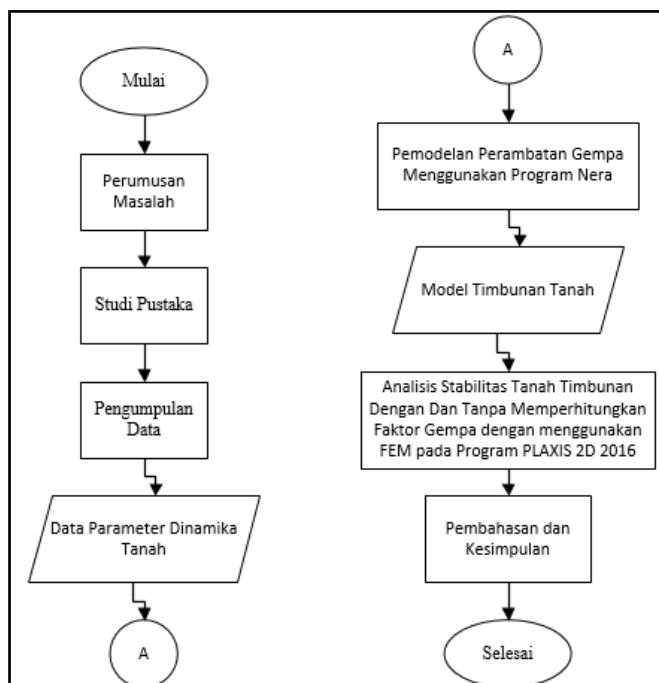
Data Parameter Tanah yang digunakan berupa data sekunder yang diperoleh dari sebuah perencana konstruksi bangunan di Serpong dengan cara pengujian di lapangan. Data tersebut berupa data gempa hasil *Megatrust* untuk data gempa.

3.2 Analisis Menggunakan Program NERA

Analisis perambatan gempa menggunakan program NERA akan menghasilkan data amplifikasi, Fourir Spektrum dan Respon Spektra. Data yang digunakan adalah data dari hasil pembacaan percepatan gempa yang kemudian dianalisis menggunakan program PLAXIS 2D 2016 untuk mengetahui seberapa besar pengaruh perambatan gempa yang terjadi pada stabilitas timbunan.

3.3 Analisis Menggunakan Program PLAXIS 2D 2016

Analisis stabilitas timbunan akan menggunakan metode elemen hingga dengan model 2D. Analisis stabilitas yang menggunakan program PLAXIS 2D 2016 akan menghasilkan nilai faktor keamanan. Hasil faktor keamanan yang diperoleh akan dibandingkan dengan hasil faktor kemanan timbunan yang tidak diberikan gempa, sehingga dapat diketahui seberapa besar pengaruh yang dialami timbunan. Bagan Alir ini dapat dilihat pada **Gambar 3**.



Gambar 3. Bagan alir pengaruh faktor gempa terhadap stabilitas timbunan

3.5 Analisis Perambatan Gempa pada NERA

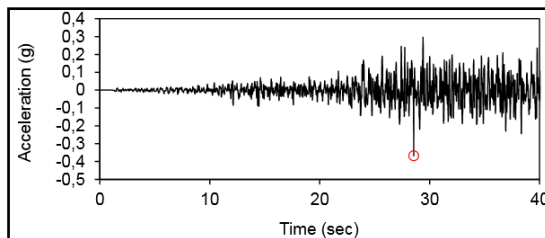
Analisis perambatan gempa dimulai dengan memasukan data hasil dari Megatrust berupa *Time (sec)* dan *Acceleration (g)* kemudian hasil dari data tersebut dapat dilihat pada **Gambar 4** dan **Gambar 5** setelah hasil dari data diperoleh kemudian data parameter tanah dimasukan kedalam program NERA. Data parameter tanah yang dimasukan adalah tanah lempung lunak, lempung medium, pasir lepas dan pasir medium yang nantinya akan di kombinasikan menjadi lempung lunak – lempung lunak, lempung lunak – lempung medium, lempung medium – lempung lunak, lempung medium – lempung medium, lempung lunak – pasir lepas, lempung lunak – pasir medium, lempung medium – pasir lepas, lempung medium – pasir medium, pasir lepas – lempung lunak, pasir lepas – lempung medium, pasir medium – lempun lunak, pasir medium – lempung medium dengan tiap ketebalan lapisan sebesar 15 m untuk kombinasi lempung lunak – lempung lunak dapat di lihat pada **Gambar 6** kombinasi lempung lunak – lempung medium ditunjukan oleh **Gambar 7** kombinasi lempung medium – lempung lunak

ditunjukkan oleh **Gambar 8** dan kombinasi lempung medium – lempung medium ditunjukkan oleh **Gambar 9**.

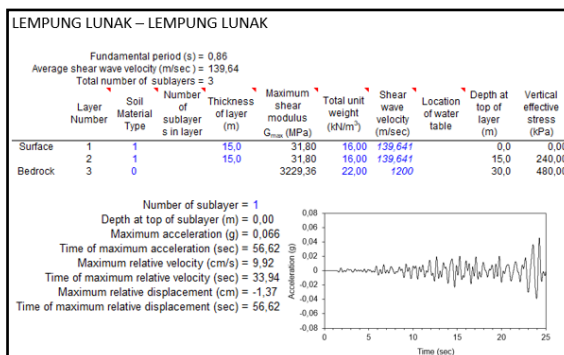
MEGATRUST EARTHQUAKE

Time step ΔT (sec) = 0,005
 Desired maximum acceleration (g) = 0,1
 Maximum frequency cut-off (Hz) =
 Use filtered input in calculation ? No
 Import input motion from external file ? No
 Name of input file = DIAM.ACC
 Total number of values read = 28810
 Peak Acceleration in input file (g) = -0,3684
 Time of peak acceleration (sec) = 0,000
 Mean Square Frequency (Hz) = 5,118
 Peak acceleration after filtering (g) = 0,100

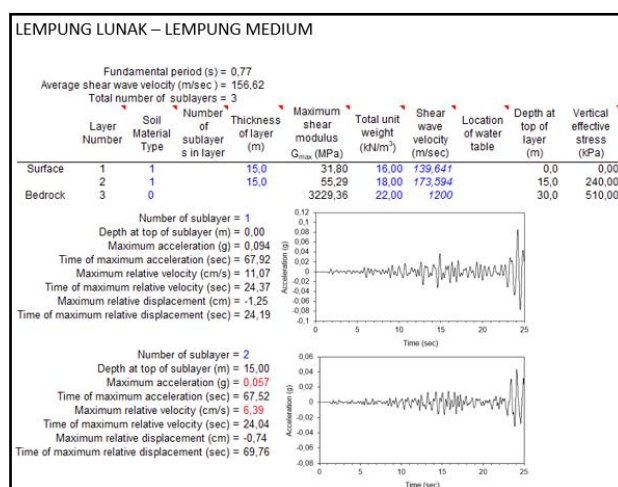
Gambar 4. Penjelasan grafik time dan acceleration



Gambar 5. Grafik time dan acceleration



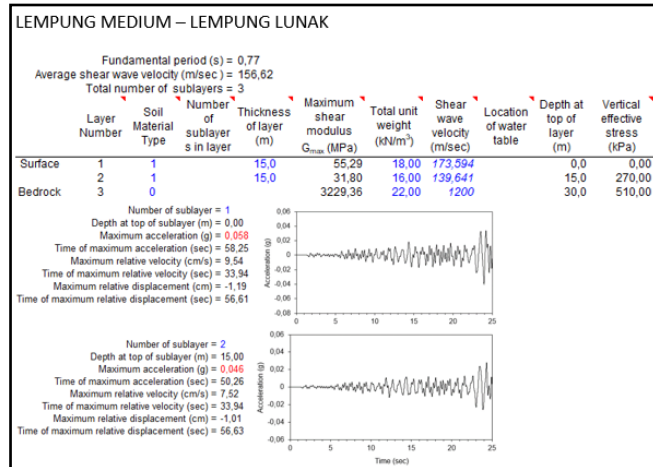
Gambar 6. Kombinasi lempung lunak – lempung lunak



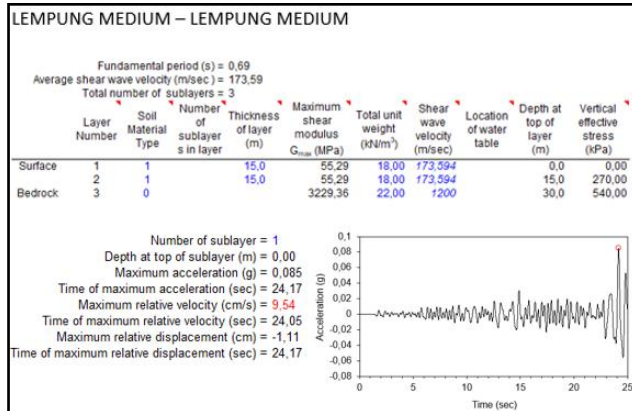
Gambar 7. Kombinasi lempung lunak – lempung medium

Gambar 4 hasil pembacaan data gempa *Megatrust* diperoleh nilai PGA sebesar 0,3684 g dengan data yang dimasukan sebanyak 28.810 data dan selisih waktu sebesar 0,005 detik dari tiap pembacaan data gempa. **Gambar 6** menunjukkan *shear wave velocity* peroleh hasil yang

sama disebabkan jenis tanah yang sama sehingga percepatan gempa yang dihasilkan sama sebesar $0,066\text{ g}$. **Gambar 7** menunjukkan *shear wave velocity* diperoleh hasil yang berbeda disebabkan jenis tanahnya yang berbeda sehingga percepatan gempa yang dihasilkannya pun berbeda. Percepatan gempa dipermukaan sebesar $0,094\text{ g}$ dan percepatan gempa untuk lapisan dibawahnya sebesar $0,057\text{ g}$.

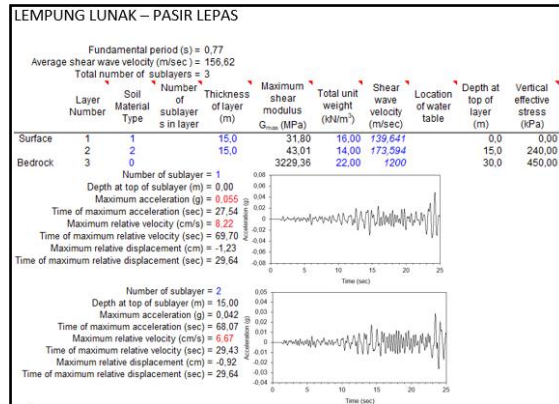


Gambar 8. Kombinasi lempung medium – lempung lunak



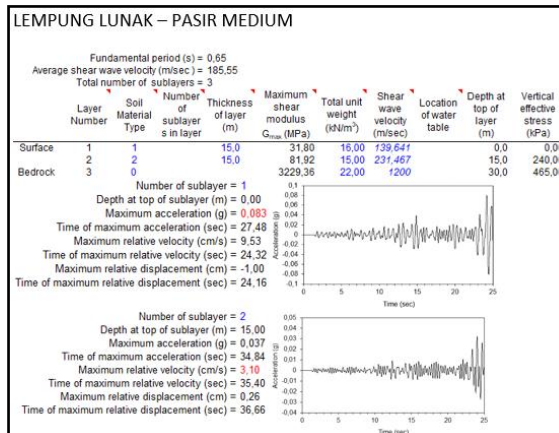
Gambar 9. Kombinasi lempung medium – lempung medium

Gambar 8 menunjukkan *shear wave velocity* peroleh hasil yang berbeda disebabkan jenis tanahnya yang berbeda sehingga percepatan gempa yang dihasilkannya pun berbeda. Percepatan gempa dipermukaan sebesar $0,058\text{ g}$ dan percepatan gempa untuk lapisan dibawahnya sebesar $0,046\text{ g}$. **Gambar 9** menunjukkan *shear wave velocity* peroleh hasil yang sama disebabkan jenis tanah yang sama sehingga percepatan gempa yang dihasilkan sama sebesar $0,085\text{ g}$. Setelah dari kombinasi antara lempung saja maka kombinasi selanjutnya adalah lempung lunak – pasir lepas, lempung lunak – pasir medium, lempung medium – pasir lepas, lempung medium – pasir medium, pasir lepas – lempung lunak, pasir lepas – lempung medium, pasir medium – lempung lunak, pasir medium – lempung medium kombinasi lempung lunak – pasir lepas ditunjukkan oleh **Gambar 10** kombinasi lempung lunak – pasir medium ditunjukkan oleh **Gambar 11** kombinasi lempung medium – pasir lepas ditunjukkan oleh **Gambar 12** kombinasi lempung medium – pasir medium ditunjukkan oleh **Gambar 13** kombinasi pasir lepas – lempung lunak ditunjukkan oleh **Gambar 14** kombinasi pasir lepas – lempung medium ditunjukkan oleh **Gambar 15** kombinasi pasir medium – lempung lunak ditunjukkan oleh **Gambar 16** dan terakhir kombinasi pasir medium – lempung medium oleh **Gambar 17**.



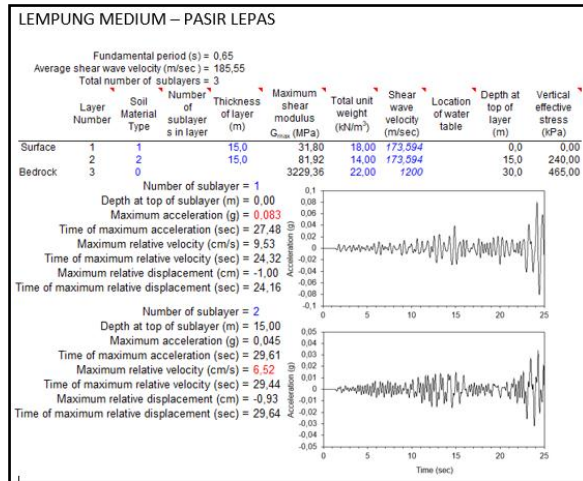
Gambar 10. Kombinasi lempung lunak – pasir lepas

Gambar 10 menunjukkan *shear wave velocity* peroleh hasil yang berbeda disebabkan jenis tanahnya yang berbeda sehingga percepatan gempa yang dihasilkannya pun berbeda. Percepatan gempa dipermukaan sebesar $0,055\text{ g}$ dan percepatan gempa untuk lapisan dibawahnya sebesar $0,042\text{ g}$.

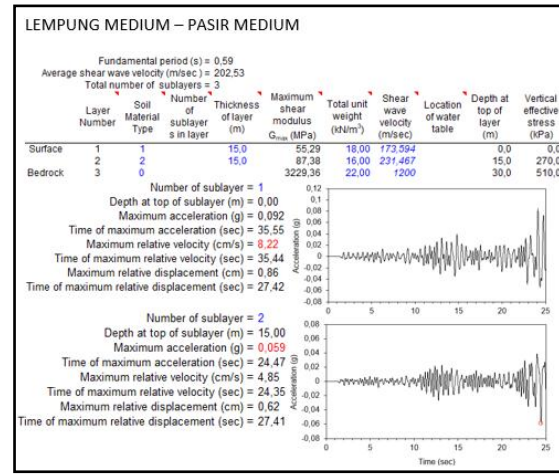


Gambar 11. Kombinasi lempung lunak – pasir medium

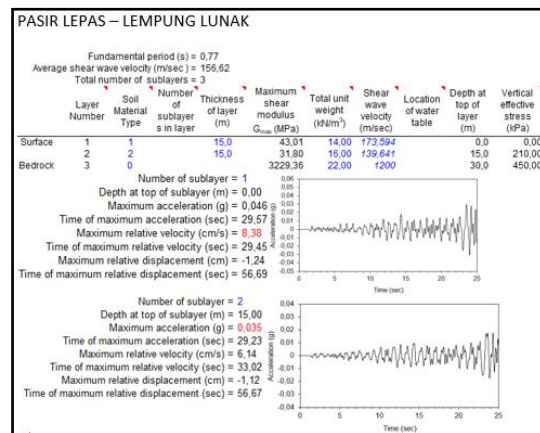
Gambar 11 menunjukkan *shear wave velocity* peroleh hasil yang berbeda disebabkan jenis tanahnya yang berbeda sehingga percepatan gempa yang dihasilkannya pun berbeda. Percepatan gempa dipermukaan sebesar $0,083\text{ g}$ dan percepatan gempa untuk lapisan dibawahnya sebesar $0,037\text{ g}$.



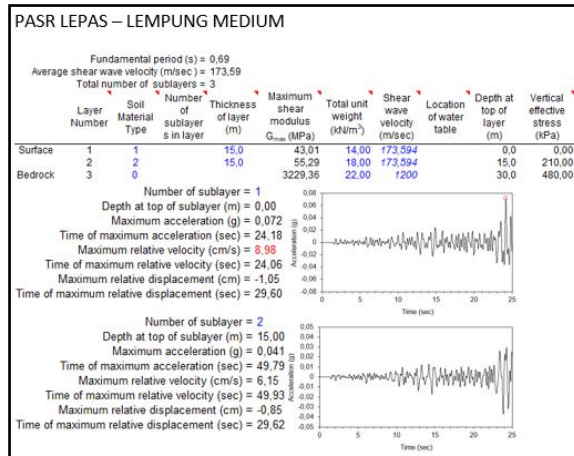
Gambar 12. Kombinasi lempung medium – pasir lepas



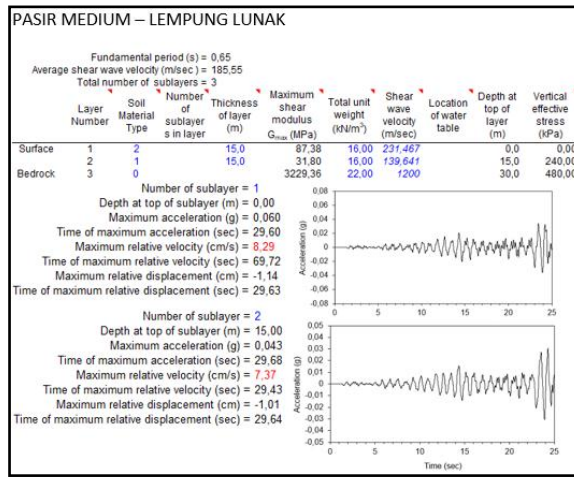
Gambar 13. Kombinasi lempung medium – pasir medium



Gambar 14. Kombinasi pasir lepas – lempung lunak



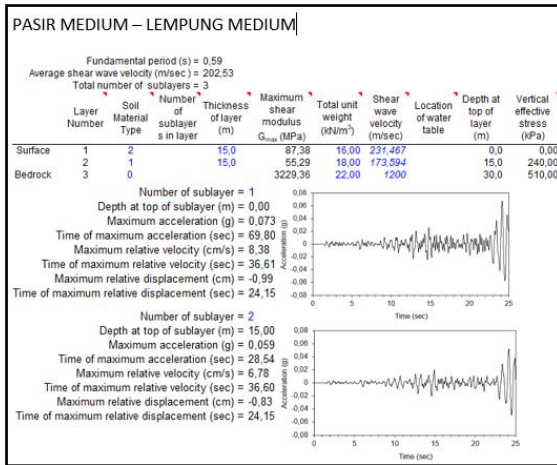
Gambar 15. Kombinasi pasir lepas – lempung medium



Gambar 16. Kombinasi pasir medium – lempung lunak

Gambar 12 menunjukkan *shear wave velocity* peroleh hasil yang berbeda disebabkan jenis tanahnya yang berbeda sehingga percepatan gempa yang dihasilkannya pun berbeda. Percepatan gempa dipermukaan sebesar $0,083\text{ g}$ dan percepatan gempa untuk lapisan dibawahnya sebesar $0,045\text{ g}$. **Gambar 13** menunjukkan *shear wave velocity* peroleh hasil yang berbeda disebabkan jenis tanahnya yang berbeda sehingga percepatan gempa yang dihasilkannya pun berbeda. Percepatan gempa dipermukaan sebesar $0,092\text{ g}$ dan percepatan gempa untuk lapisan dibawahnya sebesar $0,059\text{ g}$.

Gambar 14 menunjukkan *shear wave velocity* peroleh hasil yang berbeda disebabkan jenis tanahnya yang berbeda sehingga percepatan gempa yang dihasilkannya pun berbeda. Percepatan gempa dipermukaan sebesar $0,046\text{ g}$ dan percepatan gempa untuk lapisan dibawahnya sebesar $0,035\text{ g}$. **Gambar 15** menunjukkan *shear wave velocity* peroleh hasil yang berbeda disebabkan jenis tanahnya yang berbeda sehingga percepatan gempa yang dihasilkannya pun berbeda. Percepatan gempa dipermukaan sebesar $0,072\text{ g}$ dan percepatan gempa untuk lapisan dibawahnya sebesar $0,041\text{ g}$. **Gambar 16** menunjukkan *shear wave velocity* peroleh hasil yang berbeda disebabkan jenis tanahnya yang berbeda sehingga percepatan gempa yang dihasilkannya pun berbeda. Percepatan gempa dipermukaan sebesar $0,060\text{ g}$ dan percepatan gempa untuk lapisan dibawahnya sebesar $0,043\text{ g}$.

**Gambar 17. Kombinasi pasir medium – lempung medium**

Gambar 17 menunjukkan *shear wave velocity* peroleh hasil yang berbeda disebabkan jenis tanahnya yang berbeda sehingga percepatan gempa yang dihasilkannya pun berbeda. Percepatan gempa dipermukaan sebesar $0,073\text{ g}$ dan percepatan gempa untuk lapisan dibawahnya sebesar $0,059\text{ g}$. Seluruh kombinasi memiliki hasil percepatan perambatan gempa untuk setiap lapisan yang ditinjau maka **Tabel 2** memperlihatkan hasil dari keseluruhan kombinasi.

Tabel 2. Hasil Keseluruhan Kombinasi pada NERA

No.	Kombinasi	Jenis Tanah	Lapisan Ke -	g
1	LEMPUNG LUNAK – LEMPUNG LUNAK	LEMPUNG LUNAK	1	0,066
		LEMPUNG LUNAK	2	0,066
2	LEMPUNG LUNAK – LEMPUNG MEDIUM	LEMPUNG LUNAK	1	0,094
		LEMPUNG MEDIUM	2	0,057
3	LEMPUNG MEDIUM – LEMPUNG LUNAK	LEMPUNG MEDIUM	1	0,058
		LEMPUNG LUNAK	2	0,046
4	LEMPUNG MEDIUM – LEMPUNG MEDIUM	LEMPUNG MEDIUM	1	0,085
		LEMPUNG MEDIUM	2	0,085
5	LEMPUNG LUNAK – PASIR LEPAS	LEMPUNG LUNAK	1	0,055
		PASIR LEPAS	2	0,042
6	LEMPUNG LUNAK – PASIR MEDIUM	LEMPUNG LUNAK	1	0,083
		PASIR MEDIUM	2	0,037
7	LEMPUNG MEDIUM – PASIR LEPAS	LEMPUNG MEDIUM	1	0,083
		PASIR LEPAS	2	0,045
8	LEMPUNG MEDIUM – PASIR MEDIUM	LEMPUNG MEDIUM	1	0,092
		PASIR MEDIUM	2	0,059
9	PASIR LEPAS – LEMPUNG LUNAK	PASIR LEPAS	1	0,046
		LEMPUNG LUNAK	2	0,035
10	PASIR LEPAS – LEMPUNG MEDIUM	PASIR LEPAS	1	0,072
		LEMPUNG MEDIUM	2	0,041
11	PASIR MEDIUM – LEMPUNG LUNAK	PASIR MEDIUM	1	0,060
		LEMPUNG LUNAK	2	0,043
12	PASIR MEDIUM – LEMPUNG MEDIUM	PASIR MEDIUM	1	0,073
		LEMPUNG MEDIUM	2	0,059

3.6 Analisis Stabilitas Timbunan Tanpa Muka Air Menggunakan PLAXIS 2D 2016

Berdasarkan RSNI 3 xxxx-20xx diketahui bahwa SF izin 1,5 untuk SF sebelum terjadi gempa dan 1,1 setelah terjadi gempa. Analisis stabilitas timbunan tanpa muka air menggunakan PLAXIS 2D 2016 menghasilkan nilai faktor keamanan untuk seluruh kombinasi yang ditujukan oleh **Tabel 3**.

Tabel 3. Perbandingan Nilai *SF* Analisis Sebelum dan Setelah Terjadi Gempa Tanpa Adanya Muka Air Tanah dengan Nilai *SF* Izin

No	Kombinasi	Nilai Keamanan				Keterangan
		Sebelum Terjadi Gempa	<i>SF</i> izin	Setelah Terjadi Gempa	<i>SF</i> izin	
1	LEMPUNG LUNAK - LEMPUNG LUNAK	1,888		1,259		Cukup Aman
2	LEMPUNG LUNAK - LEMPUNG MEDIUM	1,889		1,072		Tidak Aman
3	LEMPUNG MEDIUM - LEMPUNG LUNAK	2,136		1,390		Cukup Aman
4	LEMPUNG MEDIUM - LEMPUNG MEDIUM	2,135		1,213		Cukup Aman
5	LEMPUNG LUNAK - PASIR LEPAS	1,888		1,347		Cukup Aman
6	LEMPUNG LUNAK PASIR MEDIUM	1,888	> 1,5	1,141	> 1,1	Beresiko
7	LEMPUNG MEDIUM - PASIR LEPAS	2,107		1,260		Cukup Aman
8	LEMPUNG MEDIUM - PASIR MEDIUM	2,140		1,198		Beresiko
9	PASIR LEPAS - LEMPUNG LUNAK	2,040		1,760		Aman
10	PASIR LEPAS - LEMPUNG MEDIUM	2,036		1,640		Aman
11	PASIR MEDIUM - LEMPUNG LUNAK	2,080		1,726		Aman
12	PASIR MEDIUM - LEMPUNG MEDIUM	2,089		1,659		Aman

3.7 Analisis Stabilitas Timbunan Dengan Muka Air Menggunakan PLAXIS

Berdasarkan RSNI 3 xxxx-20xx diketahui bahwa *SF* izin 1,5 untuk *SF* sebelum terjadi gempa dan 1,1 setelah terjadi gempa. Analisis stabilitas timbunan dengan muka air menggunakan PLAXIS 2D 2016 menghasilkan nilai faktor keamanan untuk seluruh kombinasi yang ditujukan oleh **Tabel 4**.

Tabel 4. Perbandingan Nilai *SF* Analisis Sebelum dan Setelah Terjadi Gempa dengan Adanya Muka Air Tanah dengan Nilai *SF* Izin

No	Kombinasi	Nilai keamanan				Keterangan
		Sebelum terjadi gempa	<i>SF</i> izin	Sesudah terjadi gempa	<i>SF</i> izin	
1	LEMPUNG LUNAK - LEMPUNG LUNAK	1,809		1,155		Beresiko
2	LEMPUNG LUNAK - LEMPUNG MEDIUM	1,808		1,072		Tidak Aman
3	LEMPUNG MEDIUM - LEMPUNG LUNAK	2,055		1,247		Cukup Aman
4	LEMPUNG MEDIUM - LEMPUNG MEDIUM	2,062		1,213		Cukup Aman
5	LEMPUNG LUNAK - PASIR LEPAS	1,808		1,243		Cukup Aman
6	LEMPUNG LUNAK PASIR MEDIUM	1,808	> 1,5	1,044	> 1,1	Tidak Aman
7	LEMPUNG MEDIUM - PASIR LEPAS	2,060		1,163		Beresiko
8	LEMPUNG MEDIUM - PASIR MEDIUM	2,060		1,104		Beresiko
9	PASIR LEPAS - LEMPUNG LUNAK	1,714		1,476		Aman
10	PASIR LEPAS - LEMPUNG MEDIUM	1,713		1,347		Aman
11	PASIR MEDIUM - LEMPUNG LUNAK	2,014		1,677		Aman
12	PASIR MEDIUM - LEMPUNG MEDIUM	2,001		1,602		Aman

4. KESIMPULAN

Berdasarkan hasil analisis perambatan gempa menggunakan program NERA dan stabilitas timbunan menggunakan metode elemen hingga pada program PLAXIS 2D 2016 diperoleh kesimpulan sebagai berikut:

1. Dari hasil gempa Megatrust diperoleh nilai PGA sebesar 0,3684 g .
2. Jika gempa terjadi pada batuan dasar kemudian merambat ke permukaan nilai percepatannya (g) dapat berkurang kemudian bertambah tergantung dengan jenis tanah yang ia lewati apakah jenis tanah tersebut dikategorikan termasuk dalam tanah pasir atau tanah lempung yang termasuk dalam klasifikasi tanah jelek atau cukup baik.
3. Analisis stabilitas gempa tanpa muka air nilai SF yang diperoleh cenderung aman dengan rata-rata nilai SF 1,389.
4. Analisis stabilitas gempa dengan muka air nilai SF yang diperoleh cenderung cukup aman dengan rata-rata nilai SF 1,279.
5. Muka air tanah sangat mempengaruhi penurunan nilai SF pada stabilitas timbunan yang dapat menjadikan nilai SF menjadi tidak aman atau beresiko.

DAFTAR RUJUKAN

- J. P. Bardet, T. T. (2001). *A Computer Program for Nonlinear Earthquake site Response Analysis of Layered Soil Deposits*. California: Departement of Civil Engineering, University of Southern California.
- PLAXIS. (2016). *Tutorial Manual PLAXIS 2D 2016*. Netherland: PLAXIS Company.
- Masyhur Irsyam, dkk. (2008). *Dinamika Tanah dan Fondasi Mesin*. Bandung: Penerbit ITB.
- RSNI 3 xxxx-20xx. Persyaratan Perancangan Geoteknik. Badan Standardisasi Nasional.